

台灣二〇〇五年國際科學展覽會

科 別：數學

作品名稱：Bezier 曲線與蚘線間之關聯性的探討與推廣

得獎獎項：大會獎第二名

學 校：高雄市立高雄女子高級中學、

高雄市立高雄高級中學

作 者：張惠婷、黃榮欽

評語與建議事項：

Bezier 曲線在近代的幾何設計中扮演重要的角色。本研究仿

照 Bezier 曲線的製作過程探討局部蚘線曲線

Bezier 曲線與蚘線間之關聯性的探討與推廣

中文摘要

在這篇報告中，我們以貝斯曲線的做圖原理建立出一種新的曲線－環狀貝斯曲線，進而得到不少有趣的結果。我們發現有名的古典曲線－蚘線，也是屬於二次環狀貝斯曲線。軌跡

方程式為： $S = \binom{2}{0}T^2P_0 + \binom{2}{1}T(I-T)P_1 + \binom{2}{2}(I-T)^2P_2$ ，此時 $T = \frac{I - R(\theta)}{2}$ ，係數恰符合二項式

定理。之後我們推廣至 n 次環狀貝斯曲線的軌跡方程式： $S = \sum_{k=0}^n \binom{n}{k} T^{n-k} (I-T)^k P_k$ ，也符合二

項式定理。

在複數平面上，給定 z_0 、 z_1 、 z_2 三點，我們定義出一個二次變換

$$T_{(z_0, z_1, z_2)}(z) = \left(\frac{z_0 + 2z_1 + z_2}{4} \right) + \left(\frac{z_2 - z_0}{2} \right)z + \left(\frac{z_0 - 2z_1 + z_2}{4} \right)z^2, \text{ 若 } z = e^{i\theta}, 0 \leq \theta \leq 2\pi, \text{ 可映射成}$$

蚘線的圖形；若 $z \in \text{實數}$ ，則可映射成拋物線。利用此結果類推我們找到一個複數平面上由 z_0 、 z_1 、 \dots 、 z_n 所決定的 n 次變換 $T_{(z_0, z_1, \dots, z_n)}$ 將以原點為圓心的單位圓，映射成 n 次環狀 Bezier 曲線。

The research and application of the interrelation between Bezier Curve and Limacon

Abstract

In this essay, we use the method of forming a Bezier Curve to establish a new curve, circular Bezier Curve, and find a lot of interesting results. We discover the famous classical curve "limacon", which belongs to the Quadratic Circular Bezier Curve. The locus of Quadratic Circular Bezier Curve is

$$S = \binom{2}{0} T^2 P_0 + \binom{2}{1} T(I - T)P_1 + \binom{2}{2} (I - T)^2 P_2, \text{ where } T = \frac{I - R(\theta)}{2}.$$

Its coefficients match the binomial theorem. Then we apply it to the locus of nth-circular Bezier Curve:

$$S = \sum_{k=0}^n \binom{n}{k} T^{n-k} (I - T)^k P_k, \text{ and it also matches the binomial theorem.}$$

On the complex plane, we define a quadratic transformation corresponding to three points — z_0, z_1

and z_2 as
$$T_{(z_0, z_1, z_2)}(z) = \left(\frac{z_0 + 2z_1 + z_2}{4} \right) + \left(\frac{z_2 - z_0}{2} \right) z + \left(\frac{z_0 - 2z_1 + z_2}{4} \right) z^2. \text{ If } z = e^{i\theta},$$

where $0 \leq \theta \leq 2\pi$, a limacon is mapped. If z is a real number, a parabola is mapped. With this result, we will find a nth transformation $T_{(z_0, z_1, \dots, z_n)}$ defined by z_0, z_1, \dots, z_n on the complex plane. It will form a nth-circular Bezier Curve with unit circle centering on the origin.

壹、前言

Bezier 曲線在電腦繪圖的應用上佔有著相當重要的地位。而 Bezier 曲線的幾何建構方法也相當的簡單，但其卻有非常漂亮而簡潔的數學式子。因此，我們想要秉持 Bezier 曲線構圖的原始想法，但嘗試著改變其構圖的過程；令人驚訝地我們描繪出了類似於有名的古典平面曲線—蚌線的圖形。

本文中，我們首先證明利用我們的繪圖方法的確建構出了三種不同的蚌線；接著經由我們的繪圖方法推得蚌線的數學參數式，並進一步推廣出一般化的公式。最後，我們探討 Bezier 曲線與蚌線間的關聯性及其所對應的複數方程式，並以幾何變換的觀點來對它們作區分。

貳、研究動機

Bezier 曲線主要是以描點、方向線及控制點描述曲線的方式。可藉由改變上述點、線的位置方向或角度來改變曲線的形狀。先由二次Bezier曲線圖形的建構方法開始討論。

二次Bezier曲線：

已知給定平面上相異不共線三點 A 、 B 、 C ；今在 \overline{AB} 上有一動點 S 滿足 $\overline{AS}:\overline{SB}=1-t:t$ ， $0 \leq t \leq 1$ ，而在 \overline{BC} 上可找到一點 T 滿足 $\overline{BT}:\overline{TC}=1-t:t$ ，然後在 \overline{ST} 上也可找到一點 P 滿足 $\overline{SP}:\overline{PT}=1-t:t$ 。每當 S 點一固定之後，便可依序決定 T 點與 P 點的位置。故只要在 \overline{AB} 上移動 S 點，便可動態的描繪出 P 點的軌跡，亦即為Bezier曲線。如圖一所示。且可推得 $S = tA + (1-t)B$ ， $T = tB + (1-t)C$ 以及 $P = tS + (1-t)T$ 。

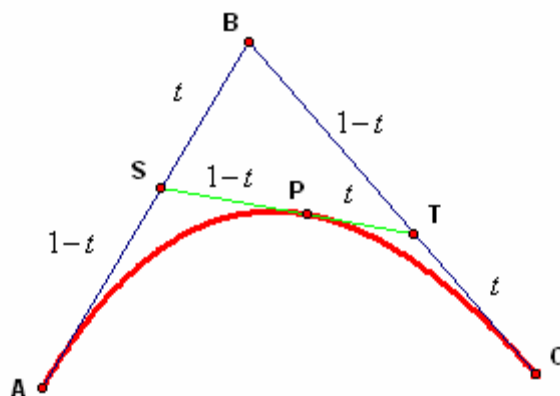
$$P = t(tA + (1-t)B) + (1-t)(tB + (1-t)C)$$

故我們可推得

$$= t^2A + 2t(1-t)B + (1-t)^2C$$

且 $0 \leq t \leq 1$ 。

$$= \binom{2}{0} t^2A + \binom{2}{1} t(1-t)B + \binom{2}{2} (1-t)^2C$$



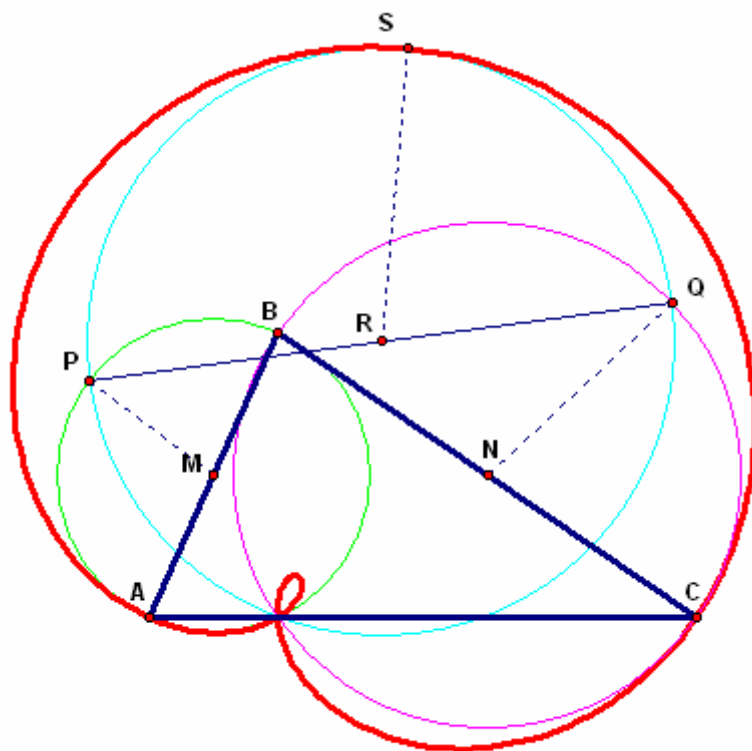
圖一

n次Bezier曲線：

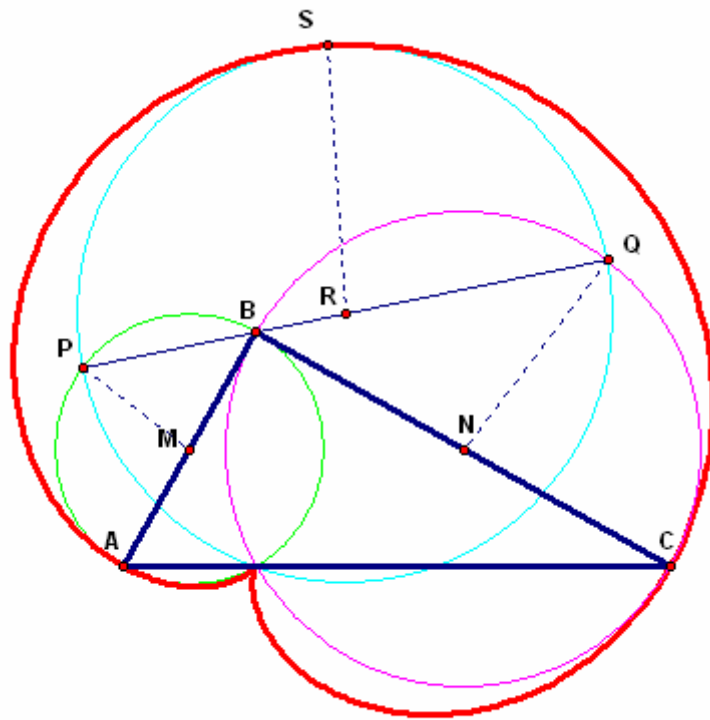
平面上依逆時針的順序有 $n+1$ 個相異點 $P_0、P_1 \dots、P_n$ 時，利用同樣的遞迴方法所描繪出的 n 次 Bezier 曲線其軌跡點 S 的通式為

$$S = \sum_{k=0}^n \binom{n}{k} t^{n-k} (1-t)^k P_k, 0 \leq t \leq 1。$$

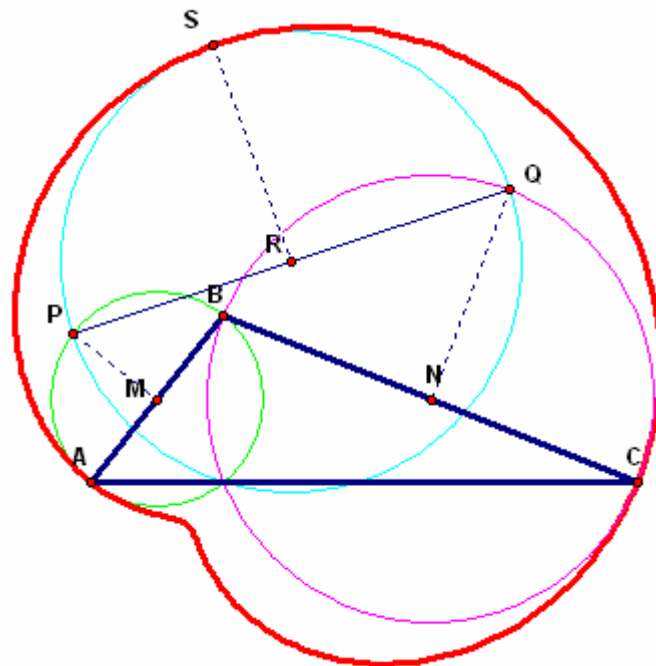
因此，我們模仿上述 Bezier 二次曲線的繪圖方法，給定平面相異不共線三點 $A、B、C$ ，分別以 \overline{AB} 、 \overline{BC} 的中點 M 及 N 為圓心， \overline{AB} 、 \overline{BC} 為直徑作圓 C_1 與 C_2 ；接著在圓 C_1 上取一動點 P ，另在圓 C_2 弧 BC 上取一對應點 Q 滿足 $\angle PMB = \angle QNC$ ，再以 \overline{PQ} 的中點 R 為圓心， \overline{PQ} 為直徑， \overline{PQ} 的中點 R 為圓心作另一圓 C_3 ，並在圓 C_3 上取對應點 S 滿足 $\angle SRQ = \angle PMB = \angle QNC$ 。每當 P 點一固定之後，便可依序決定 Q 點與 S 點的位置。接著，我們讓動點跑動，竟然發現 S 點所描繪出的軌跡，隨著三角形 ABC 的形狀成銳角三角形、直角三角形及鈍角三角形三種不同的類型變化時，也對應呈現近似於有內圈的蚌線、心臟線及無內圈的蚌線的圖形。如圖二所示。這也引起了我們的好奇心，進而著手進行研究。



$\triangle ABC$ 為銳角三角形



$\triangle ABC$ 為直角三角形



$\triangle ABC$ 為鈍角三角形

圖二

參、研究過程

【定義一】我們將上述的作圖方法所做出來的圖形稱之為由 A、B、C 所決定的二次環狀 Bezier 曲線。

首先，我們試著找出我們所做的曲線的方程式。因為 P 點是：以 \overline{AB} 為直徑的圓的圓心 (M)

為原點， \overline{MB} 旋轉 θ 角所形成，令 $\angle SRQ = \angle PMB = \angle QNC = \theta$ 且 $0 \leq \theta \leq 2\pi$ ，並且以 $R(\theta)$ 代表

平面上的旋轉矩陣，所以我們得知 $R(\theta) = \begin{bmatrix} \cos \theta & -\sin \theta \\ \sin \theta & \cos \theta \end{bmatrix}$ 。故

$P = \left(\frac{A+B}{2}\right) + R(\theta)\left(\frac{B-A}{2}\right)$ ，同理，因為 Q 點是：以 \overline{BC} 為直徑的圓的圓心為原點， \overline{NC} 旋轉 θ

角所形成，因此 $Q = \left(\frac{B+C}{2}\right) + R(\theta)\left(\frac{C-B}{2}\right)$ ，又因為 S 點是：以 \overline{PQ} 為直徑的圓的圓心為原點，

\overline{RQ} 旋轉 θ 角所形成，因此 $S = \left(\frac{Q+P}{2}\right) + R(\theta)\left(\frac{Q-P}{2}\right)$ ，接著再把 $P = \left(\frac{A+B}{2}\right) + R(\theta)\left(\frac{B-A}{2}\right)$ 及

$Q = \left(\frac{B+C}{2}\right) + R(\theta)\left(\frac{C-B}{2}\right)$ 代入 $S = \left(\frac{Q+P}{2}\right) + R(\theta)\left(\frac{Q-P}{2}\right)$ 可推得

$$S = \left(\frac{Q+P}{2}\right) + R(\theta)\left(\frac{Q-P}{2}\right)$$

$$= \frac{\left(\left(\frac{A+B}{2}\right) + R(\theta)\left(\frac{B-A}{2}\right)\right) + \left(\left(\frac{B+C}{2}\right) + R(\theta)\left(\frac{C-B}{2}\right)\right)}{2} +$$

$$R(\theta) \frac{\left(\left(\frac{B+C}{2}\right) + R(\theta)\left(\frac{C-B}{2}\right)\right) - \left(\left(\frac{A+B}{2}\right) + R(\theta)\left(\frac{B-A}{2}\right)\right)}{2}$$

$$= \left(\frac{A+2B+C}{4}\right) + R(\theta)\left(\frac{C-A}{4}\right) + R(\theta)\left[\left(\frac{C-A}{4}\right) + R(\theta)\left(\frac{A-2B+C}{4}\right)\right]$$

$$= \left(\frac{A}{4} - R(\theta)\frac{A}{4} - R(\theta)\frac{A}{4} + R(\theta)^2\frac{A}{4}\right) + \left(\frac{2B}{4} - R(\theta)^2\frac{2B}{4}\right) + \left(\frac{C}{4} + R(\theta)\frac{C}{4} + R(\theta)\frac{C}{4} + R^2(\theta)\frac{C}{4}\right)$$

$$= [I - R(\theta)]^2 \frac{A}{4} + 2(I - R(\theta)^2) \frac{B}{4} + [I + R(\theta)]^2 \frac{C}{4}$$

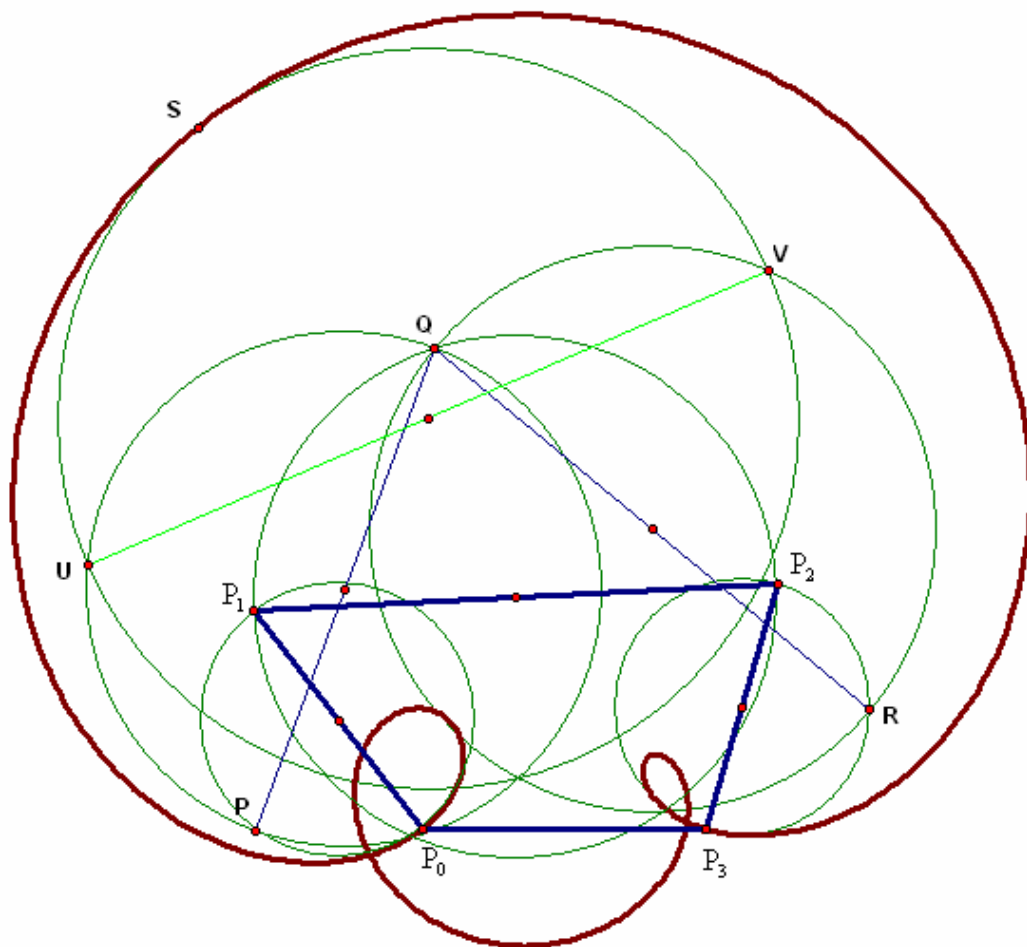
$$= \left[\frac{I - R(\theta)}{2}\right]^2 A + 2\left(\frac{I - R(\theta)}{2}\right)\left(\frac{I + R(\theta)}{2}\right)B + \left[\frac{I + R(\theta)}{2}\right]^2 C$$

$$= \binom{2}{0} T^2 A + \binom{2}{1} T(I-T)B + \binom{2}{0} (I-T)^2 C \quad \left(\text{此處的 } I = \begin{bmatrix} 1 & 0 \\ 0 & 1 \end{bmatrix} \text{ 即為單位矩陣，而 } T = \frac{I - R(\theta)}{2} \right)$$

$$\text{故 } I-T = \frac{I + R(\theta)}{2} .$$

發現上述方程式的係數部分相似於二次 Bezier 曲線的係數滿足著二項式定理。我們嘗試著把它推展到 $n+1$ 個點的式子。由前述 3 個點的情形，假設在平面上依逆時針的順序相異四個點 P_0 、 P_1 、 P_2 及 P_3 四點，利用同樣的方法先利用 $\overline{P_0P_1}$ 、 $\overline{P_1P_2}$ 與 $\overline{P_2P_3}$ 為直徑作圓 C_1 、 C_2 與 C_3 並於其上分別取相對應的動點 P 、 Q 與 R ；再利用 \overline{PQ} 與 \overline{QR} 為直徑作圓 C_4 與 C_5 並於其上分別取相對應的動點 U 與 V 。最後再以 \overline{UV} 為直徑作圓 C_6 並於其上取相對應的動點 S 。當我們讓動點跑動時便描繪出了較為複雜的圖形如圖三。且我們像三個點的情形時一樣的去找出 S 的座標，最後得到

$$S = \binom{3}{0} T^3 P_0 + \binom{3}{1} T^2(I-T)P_1 + \binom{3}{2} T(I-T)^2 P_2 + \binom{3}{3} (I-T)^3 P_3 .$$



圖三

【定義二】：平面上依逆時針的順序有 $n+1$ 個相異點 P_0, P_1, \dots, P_n ，利用同樣的遞迴方法所描繪的圖形我們稱之為由 P_0, P_1, \dots, P_n 所決定的 n 次環狀 Bezier 曲線。

所以我們推論環狀 n 次 Bezier 曲線的軌跡點 S ，其通式為

$$\text{【定理一】： } S = \sum_{k=0}^n \binom{n}{k} T^{n-k} (I-T)^k P_k \text{ 此時 } T = \frac{I-R(\theta)}{2} \text{ 及 } I-T = \frac{I+R(\theta)}{2} \text{。}$$

我們試著利用數學歸納法證明之：

【證明】：(1)當 $n=0$ 時，亦即只有一個點時

$$S = \sum_{k=0}^0 \binom{0}{k} T^{0-k} (I-T)^k P_k = \binom{0}{0} T^0 (I-T)^0 P_0 = P_0 \text{ 圖形當然還是 } P_0 \text{。符合我們所設的通式，}$$

故成立。

當 $n=1$ 時，亦即有兩個點時

$$\begin{aligned} S &= \sum_{k=0}^1 \binom{1}{k} T^{1-k} (I-T)^k P_k = \binom{1}{0} T^1 (I-T)^0 P_0 + \binom{1}{1} T^0 (I-T)^1 P_1 \\ &= \boxed{TP_0 + (I-T)P_1} = \left(\frac{I-R(\theta)}{2} \right) P_0 + \left(\frac{I+R(\theta)}{2} \right) P_1 = \boxed{\left(\frac{P_1+P_0}{2} \right) + R(\theta) \left(\frac{P_1-P_0}{2} \right)} \end{aligned}$$

S 落在以 $\overline{P_0P_1}$ 的中點 $\frac{P_0+P_1}{2}$ 為圓心 $\overline{P_0P_1}$ 為直徑的圓上；當然還是成立。

(2) 假設當 $n=h$ 時成立；亦即 $S = \sum_{k=0}^h \binom{h}{k} T^{h-k} (I-T)^k P_k$ 。

(3) 當 $n=h+1$ 時，我們分兩個步驟來證明

第一步先利用 $\overline{P_0P_1}, \overline{P_1P_2}, \dots, \overline{P_hP_{h+1}}$ 分別作出對應的點

$$P_0^*, P_1^*, \dots, P_h^* \text{ 滿足 } P_0^* = TP_0 + (I-T)P_1, P_1^* = TP_1 + (I-T)P_2, \dots,$$

$$P_k^* = TP_k + (I-T)P_{k+1}, \dots, P_h^* = TP_h + (I-T)P_{h+1} \text{。}$$

第二步再利用此 $h+1$ 個點進而描繪出 S 點。故利用數學歸納法在 $n=h$ 時假設成立，我們可推得

$$S = \sum_{k=0}^h \binom{h}{k} T^{h-k} (I-T)^k P_k^* = \sum_{k=0}^h \binom{h}{k} T^{h-k} (I-T)^k (TP_k + (I-T)P_{k+1})$$

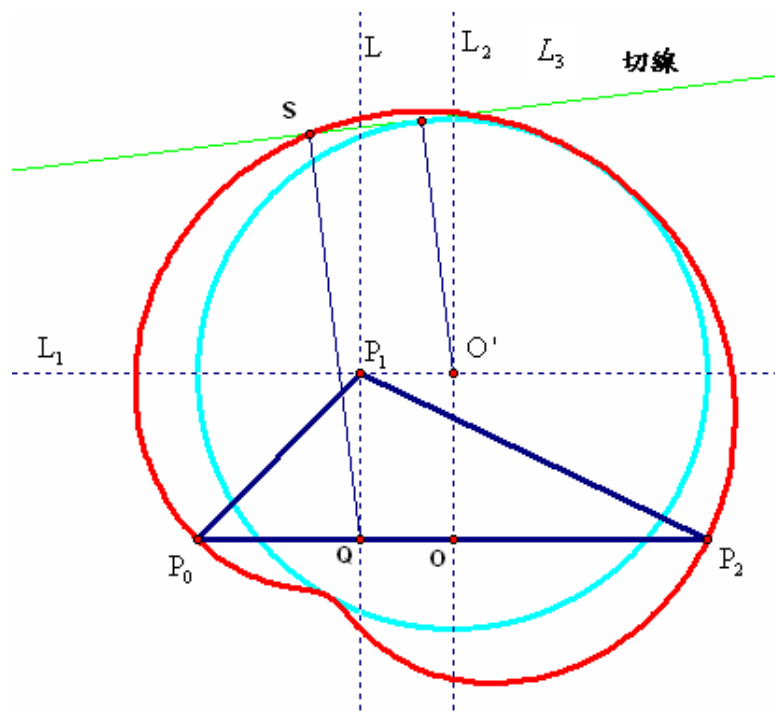
$$\begin{aligned}
&= \sum_{k=0}^h \binom{h}{k} \left[T^{(h+1)-k} (I-T)^k P_k + T^{h-k} (I-T)^{k+1} P_{k+1} \right] \\
&= \sum_{k=0}^h \binom{h}{k} T^{(h+1)-k} (I-T)^k P_k + \sum_{k=0}^h \binom{h}{k} T^{h-k} (I-T)^{k+1} P_{k+1} \\
&= (T^{h+1} P_0) + \sum_{k=1}^h \binom{h}{k} T^{(h+1)-k} (I-T)^k P_k + \sum_{k=1}^{h+1} \binom{h}{k-1} T^{h-(k-1)} (I-T)^{(k-1)+1} P_{(k-1)+1} \\
&= (T^{(h+1)-0} (I-T)^0 P_0) + \sum_{k=1}^h \binom{h}{k} T^{(h+1)-k} (I-T)^k P_k + \sum_{k=1}^{h+1} \binom{h}{k-1} T^{(h+1)-k} (I-T)^k P_k \\
&= T^{(h+1)} P_0 + \sum_{k=1}^h \left[\binom{h}{k} + \binom{h}{k-1} \right] T^{(h+1)-k} (I-T)^k P_k + \binom{h}{h} (I-T)^{h+1} P_{h+1} \\
&= T^{(h+1)} (I-T)^0 P_0 + \sum_{k=1}^h \binom{h+1}{k} T^{(h+1)-k} (I-T)^k P_k + \binom{h+1}{h+1} T^0 (I-T)^{h+1} P_{h+1} \\
&= \sum_{k=0}^{h+1} \binom{h+1}{k} T^{(h+1)-k} (I-T)^k P_k \text{ 符合通式，故成立。} \quad \text{【得證】}
\end{aligned}$$

由數學歸納法的原理得知： $S = \sum_0^1 C_k^1 T^{1-k} (I-T)^k P_k$ 成立，它的係數確符合二項式定理，而其通式的確如預期般的類似於 n 次 Bezier 曲線的一般式。接下來我們想要證明在圖二中的三種圖形依序分別是有內圈的蚌線、心臟線及無內圈的蚌線。

今在平面上任取不共線的三點 P_0 、 P_1 、 P_2 ，不失其一般性我們可以假設 $\overline{P_0 P_2}$ 的中點為 $O(0, 0)$ ， P_1 的座標為 (α, β) 且 P_0 與 P_2 的座標分別為 $(-a, 0)$ 及 $(a, 0)$ 。首先我們先作一些輔助的圖形如圖四。

我們先以 $\overline{P_0 P_2}$ 為水平軸，過 P_1 作一條垂直 $\overline{P_0 P_2}$ 的直線 L 交 $\overline{P_0 P_2}$ 於 $Q(\alpha, 0)$ 點，連 $\overline{P_1 Q}$ ，通過 P_1 作一條垂直 $\overline{P_1 Q}$ 的直線 L_1 ，過 O 作一條垂直 $\overline{P_0 P_2}$ 的直線 L_2 ，令直線 L_1 交直線 L_2 於 $O'(0, \beta)$ 點。過 S 點再作一條直線 L 使得 L 垂直 \overline{QS} ；最後再以 O' 為圓心， a 為半徑作一圓 C 。

接下來我們想要證明 $d(O', L) = a$ ，也就是說直線 L 就是圓 C 的一條切線。如此一來我們便可推得 S 點根本就是垂足曲線的軌跡點（ Q 就是基點），眾所皆知蚌線即為圓的垂足曲線，因此便可以完成證明。



圖四

【證明】：由公式

$$S = \left[\frac{I-R(\theta)}{2} \right]^2 \begin{bmatrix} -a \\ 0 \end{bmatrix} + \left[\frac{I-R(\theta)}{2} \right] \left[\frac{I+R(\theta)}{2} \right] \begin{bmatrix} \alpha \\ \beta \end{bmatrix} + \left[\frac{I+R(\theta)}{2} \right]^2 \begin{bmatrix} a \\ 0 \end{bmatrix}$$

可知 S 點座標為 $(a \cos \theta + \alpha - \alpha \cos^2 \theta + \beta \sin \theta \cos \theta, a \sin \theta - \alpha \sin \theta \cos \theta + \beta - \beta \cos^2 \theta)$ 。

$$\overline{QS} = S - Q$$

$$= (a \cos \theta + \alpha - \alpha \cos^2 \theta + \beta \sin \theta \cos \theta, a \sin \theta - \alpha \sin \theta \cos \theta + \beta - \beta \cos^2 \theta) - (\alpha, 0)$$

$$= (a \cos \theta - \alpha \cos^2 \theta + \beta \sin \theta \cos \theta, a \sin \theta - \alpha \sin \theta \cos \theta + \beta - \beta \cos^2 \theta)$$

\overline{QS} 即為直線 L 的法向量。故可求得 L 的方程式為

$$(a \cos \theta + \alpha - \alpha \cos^2 \theta + \beta \sin \theta \cos \theta)x + (a \sin \theta - \alpha \sin \theta \cos \theta + \beta - \beta \cos^2 \theta)y = k$$

因為 L 過 S 點，所以把 S 帶入 L 可求 k 值如下：

$$k = (a \cos \theta + \alpha - \alpha \cos^2 \theta + \beta \sin \theta \cos \theta)^2 + (a \sin \theta - \alpha \sin \theta \cos \theta + \beta - \beta \cos^2 \theta)^2$$

$$= a^2 (\cos^2 \theta + \sin^2 \theta) + a \alpha (\cos \theta - \cos^3 \theta - \cos^3 \theta - 2 \sin^2 \theta \cos \theta) + a \beta (\sin \theta \cos^2 \theta +$$

$$\begin{aligned} & \sin \theta \cos^2 \theta + 2 \sin \theta - 2 \sin \theta \cos^2 \theta) + \alpha^2 (-\cos^2 \theta + \cos^4 \theta + \sin^2 \theta \cos^2 \theta) + \alpha \beta (- \\ & \sin \theta \cos^3 \theta + \sin \theta \cos \theta - \sin \theta \cos^3 \theta - 2 \sin \theta \cos \theta + 2 \sin \theta \cos^4 \theta) + \beta^2 (\sin^2 \theta \cos^2 \theta + 1 + \\ & \cos^4 \theta - 2 \cos^2 \theta) \\ & = a^2 - a \alpha \cos \theta + 2 a \beta \sin \theta - \alpha \beta \sin \theta \cos \theta + \beta^2 \sin^2 \theta \end{aligned}$$

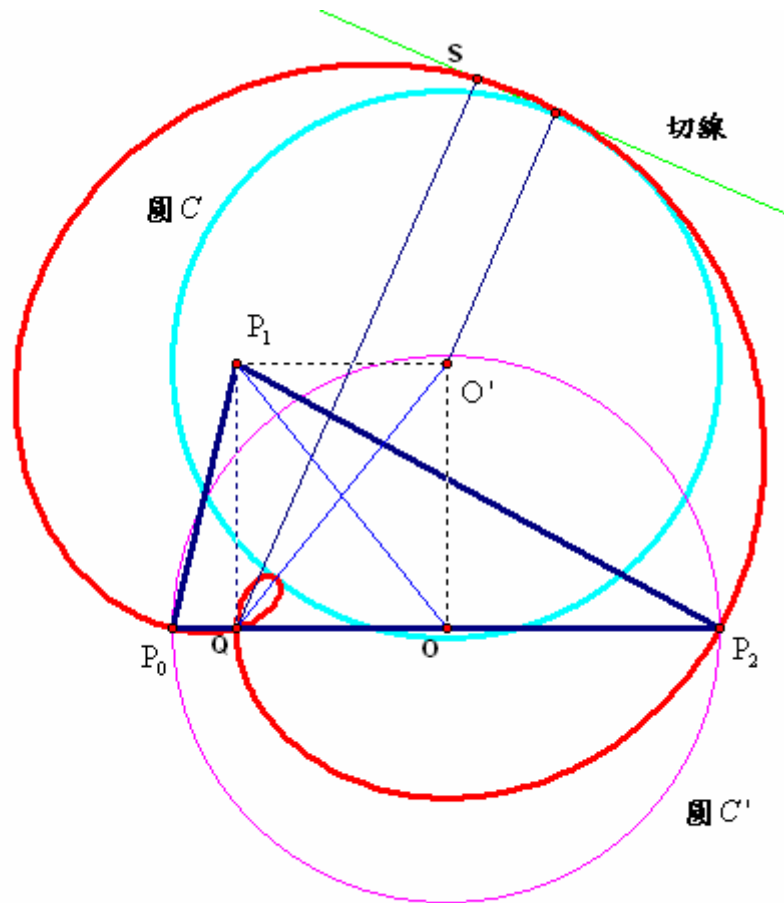
因為 O' 點座標為 $(0, \beta)$ ，所以

$$\begin{aligned} d(O', L) &= \\ & \frac{|\beta(a \sin \theta - \alpha \sin \theta \cos \theta + \beta - \beta \cos \theta) - (a^2 - a \alpha \cos \theta + 2 a \beta \sin \theta - \alpha \beta \sin \theta \cos \theta + \beta^2 \sin^2 \theta)|}{\sqrt{(a \cos \theta - \alpha \cos^2 \theta + \beta \sin \theta \cos \theta)^2 + (a \sin \theta - \alpha \sin \theta \cos \theta + \beta \sin^2 \theta)^2}} \\ & \frac{|(a^2 - a \alpha \cos \theta + a \beta \sin \theta)|}{\sqrt{(a - \alpha \cos \theta + \beta \sin \theta)^2}} = a. \end{aligned}$$

故直線 L 即為圓 C 的一條切線且 S 點即為由 Q 點相對於圓 C 的一條切線 L 的垂足；所以， S 點實為垂足曲線的軌跡點。我們都知道隨著 Q 點的位置落在圓 C 外部、圓 C 上及圓 C 內部，其所對應的垂足曲線依序為有內圈的蚌線、心臟線及無內圈的蚌線的圖形。所以接下來我們要證明：

依照 $\Delta P_0 P_1 P_2$ 的形狀成銳角三角形、直角三角形及鈍角三角形三種不同的類型變化時， S 點的軌跡圖形也正好分別對應呈現內圈的蚌線、心臟線及無內圈的蚌線的圖形。

今於圖四中以 O 點為圓心 a 為半徑作圓 C' ，可推得：當點 P_1 落在圓 C' 外面、圓 C' 上面及圓 C' 內部時， $\Delta P_0 P_1 P_2$ 依序為銳角、直角及鈍角三角形。如圖四(a)、圖四(b)及圖四(c)所示。

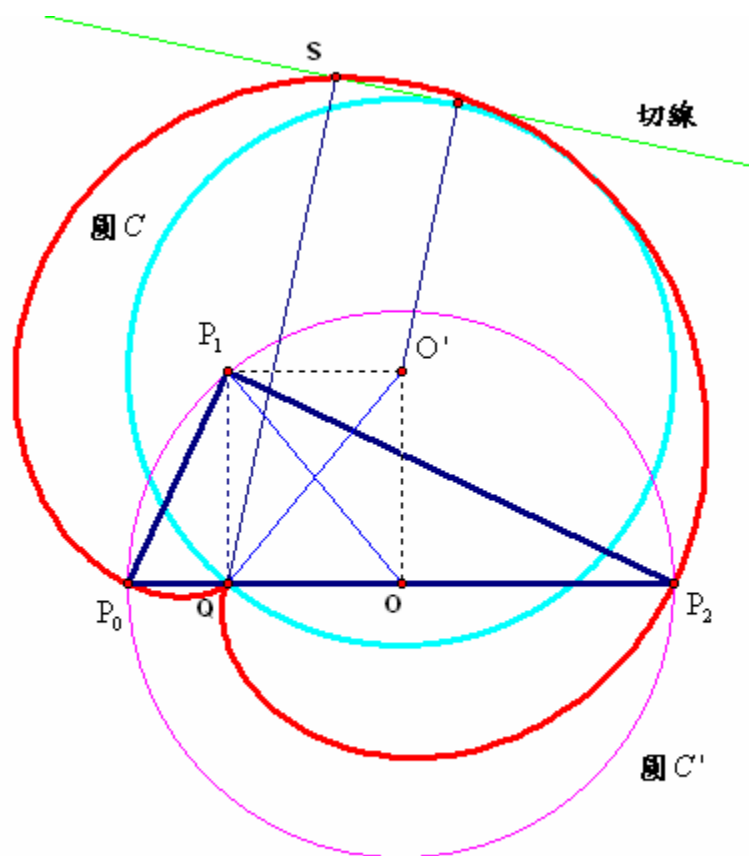


$\Delta P_0P_1P_2$ 為銳角三角形

圖四(a)

當點 P_1 落在圓 C' 外面時，此時 $\Delta P_0P_1P_2$ 為銳角三角形。因為四邊形 OQP_1O' 為一個矩形，所以兩條對角線 $\overline{QO'}$ 與 $\overline{P_1O}$ 等長，亦即 $\overline{QO'} = \overline{P_1O}$ 。所以當 P_1 落在圓 C' 外面時相當於 $\overline{P_1O} > a$ ，故 $\overline{QO'} > a$ ，也就是說 Q 落在圓 C 外面。所以此時圖形為由 Q 點對以 O' 為圓心 $\overline{P_0P_2}$ 為直徑所作之垂足曲線，即為有內圈的蚌線。

我們可以很容易的看出：此有內圈的蚌線乃是以 $\overline{QO'}$ 為貫軸，而圖形也以 $\overline{QO'}$ 為對稱軸左右對稱。

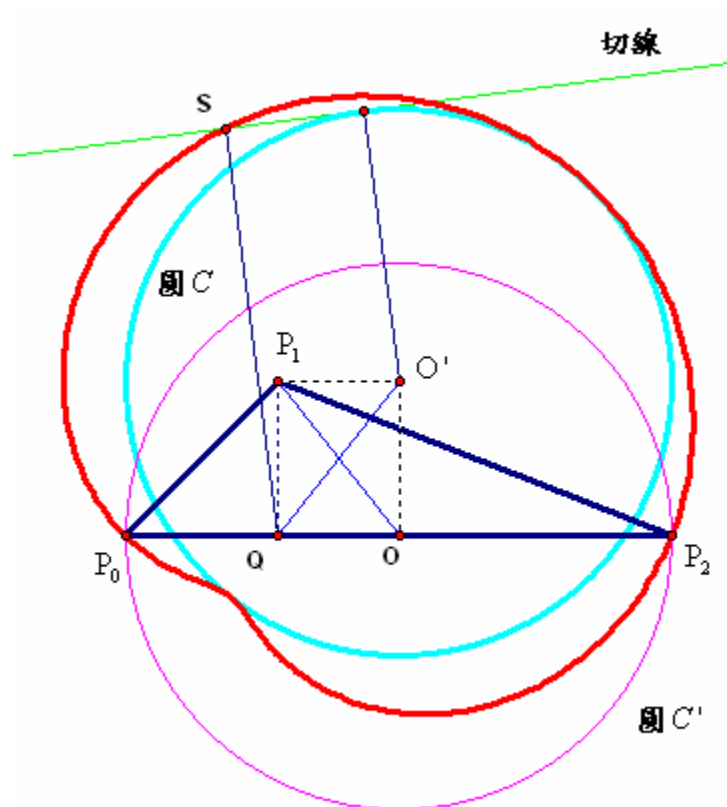


$\Delta P_0P_1P_2$ 為直角三角形

圖四(b)

當點 P_1 落在圓 C' 上面時，此時 $\Delta P_0P_1P_2$ 為直角三角形。因為四邊形 OQP_1O' 為一個矩形，所以兩條對角線 $\overline{QO'}$ 與 $\overline{P_1O}$ 等長，亦即 $\overline{QO'} = \overline{P_1O}$ 。所以當 P_1 落在圓 C' 外面時相當於 $\overline{P_1O} = a$ ，故 $\overline{QO'} = a$ ，也就是說 Q 落在圓 C 上面。所以此時圖形為由 Q 點對以 O' 為圓心 $\overline{P_0P_2}$ 為直徑所作之垂足曲線，即為心臟線。

我們可以很容易的看出：此心臟線乃是以 $\overline{QO'}$ 為貫軸，而圖形也以 $\overline{QO'}$ 為對稱軸左右對稱。



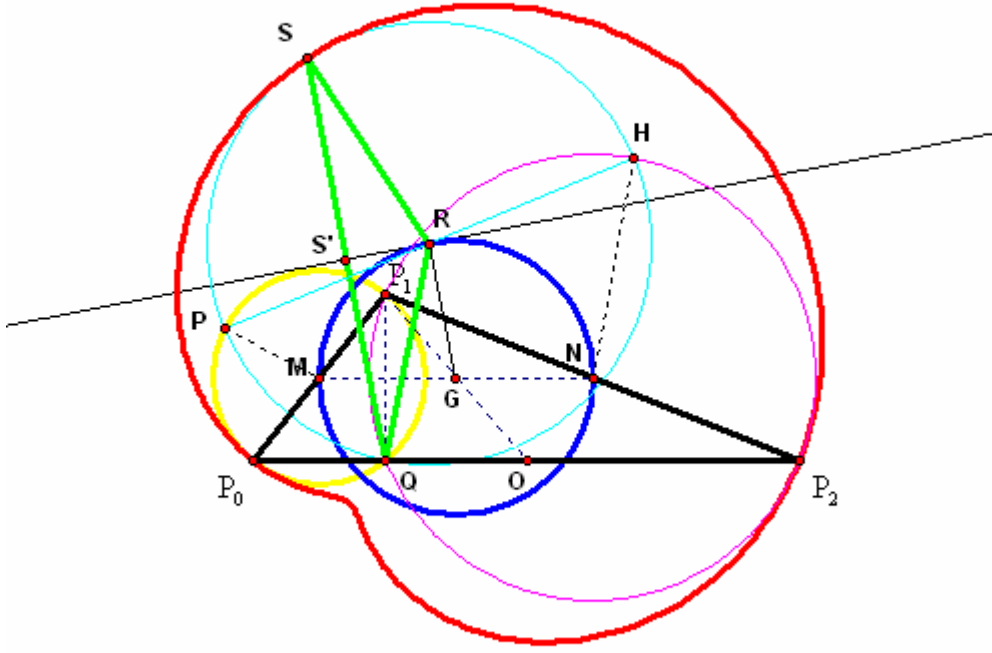
$\Delta P_0P_1P_2$ 為鈍角三角形

圖四(c)

當點 P_1 落在圓 C' 裡面時，此時 $\Delta P_0P_1P_2$ 為鈍角三角形。因為四邊形 OQP_1O' 為一個矩形，所以兩條對角線 $\overline{QO'}$ 與 $\overline{P_1O}$ 等長，亦即 $\overline{QO'} = \overline{P_1O}$ 。所以當 P_1 落在圓 C' 裡面時相當於 $\overline{P_1O} < a$ ，故 $\overline{QO'} < a$ ，也就是說 Q 落在圓 C 裡面。所以此時圖形為由 Q 點對以 O' 為圓心 $\overline{P_0P_2}$ 為直徑所作之垂足曲線，即為無內圈的蚌線。

我們可以很容易的看出：此無內圈的蚌線乃是以 $\overline{QO'}$ 為貫軸，而圖形也以 $\overline{QO'}$ 為對稱軸左右對稱。

【得證】



圖四(d)

由四(d)以及定理一可得知 $\angle \theta = \angle PMP_1 = \angle HNP_2 = \angle SRH = \angle RGN$ 。

$$\begin{aligned}
 \text{且 } S &= \begin{pmatrix} 2 \\ 0 \end{pmatrix} T^2 (I-T)^0 P_0 + \begin{pmatrix} 2 \\ 1 \end{pmatrix} T^1 (I-T)^1 P_1 + \begin{pmatrix} 2 \\ 2 \end{pmatrix} T^0 (I-T)^2 P_2 \\
 &= T^2 P_0 + 2 T^1 (I-T)^1 P_1 + (I-T)^2 P_2 \\
 &= \left(\frac{I-R(\theta)}{2} \right)^2 P_0 + 2 \left(\frac{I-R(\theta)}{2} \right) \left(\frac{I+R(\theta)}{2} \right) P_1 + \left(\frac{I+R(\theta)}{2} \right)^2 P_2 \\
 &= \left[\left(\frac{P_0+2P_1+P_2}{4} \right) + R(\theta) \left(\frac{P_2-P_0}{2} \right) \right] + (R(\theta))^2 \left(\frac{P_0-2P_1+P_2}{4} \right) \\
 &= \left[\left(\frac{P_0+2P_1+P_2}{4} \right) + R(\theta) \left(\frac{P_2-P_0}{4} \right) \right] + R(\theta) \left[\left(\frac{P_2-P_0}{4} \right) + R(\theta) \left(\frac{P_0-2P_1+P_2}{4} \right) \right] \\
 &= \left[\left(\frac{P_0+2P_1+P_2}{4} \right) + R(\theta) \left(\frac{P_2-P_0}{4} \right) \right] + \left[R(\theta) \left(\frac{P_2-P_0}{4} \right) + R(2\theta) \left(\frac{P_0-2P_1+P_2}{4} \right) \right].
 \end{aligned}$$

因此，我們可由圖形中看出 $G = \frac{P_0+2P_1+P_2}{4}$ ， $R = \left(\frac{P_0+2P_1+P_2}{4} \right) + R(\theta) \left(\frac{P_2-P_0}{4} \right)$ ，
 $\overline{RH} = \left(\frac{P_2-P_0}{4} \right) + R(\theta) \left(\frac{P_0-2P_1+P_2}{4} \right)$ 以及 $\overline{RS} = R(\theta) \left(\frac{P_2-P_0}{4} \right) + R(2\theta) \left(\frac{P_0-2P_1+P_2}{4} \right)$ 。

假設 $\overline{P_0P_2}$ 的中點為 $O(0,0)$ ， P_1 的座標為 (α, β) 且 A 與 P_2 的座標分別為 $(-a, 0)$ 及 $(a, 0)$ 。

所以 $G = \left(\frac{\alpha}{2}, \frac{\beta}{2}\right)$ 、 $Q = (\alpha, 0)$ 、 $\overline{P_0O} = \overline{OP_2} = a > 0$ 及

$$\begin{aligned} \overline{RS} &= \left(\left(\frac{a}{2}\right)\cos\theta, \left(\frac{a}{2}\right)\sin\theta \right) + \left(\left(\frac{-\alpha}{2}\right)\cos 2\theta + \frac{\beta}{2}\sin 2\theta, \left(\frac{-\alpha}{2}\right)\sin 2\theta - \frac{\beta}{2}\cos 2\theta \right) \\ &= \left(\left(\frac{a}{2}\right)\cos\theta - \left(\frac{\alpha}{2}\right)\cos 2\theta + \frac{\beta}{2}\sin 2\theta, \left(\frac{a}{2}\right)\sin\theta - \left(\frac{\alpha}{2}\right)\sin 2\theta - \frac{\beta}{2}\cos 2\theta \right) \end{aligned}$$

則我們可得到以下的幾個結果：

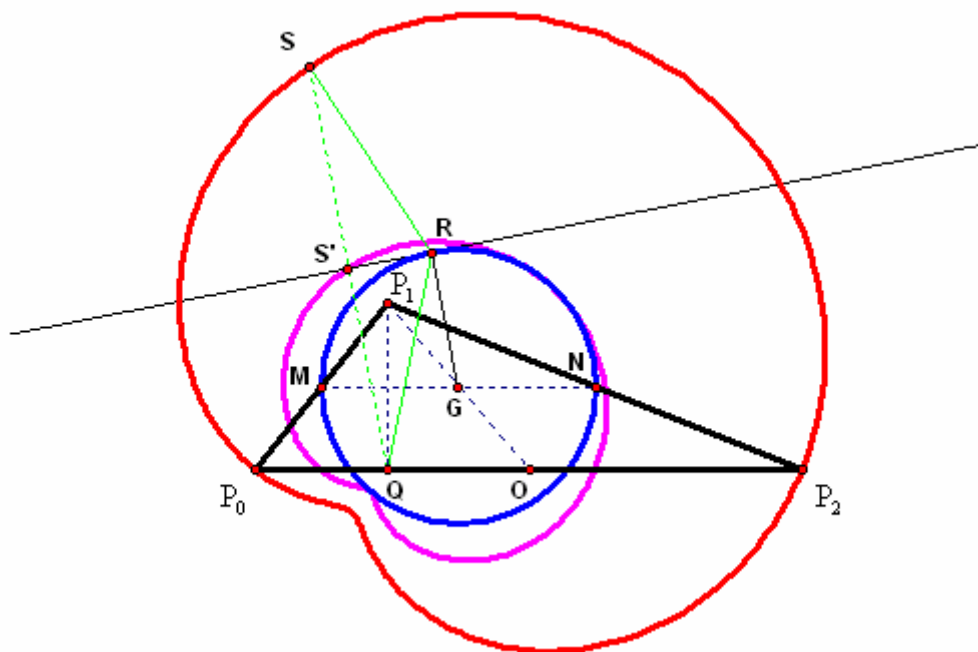
(i) $\overline{QR} = \overline{RS}$ 。

(ii) $\overline{QS} \parallel \overline{GR}$ 。

(iii) 令 R 是以 G 為圓心， $\frac{\overline{P_0P_2}}{4}$ 為半徑之圓 C 上的動點；則 \overline{RS} 是過 R 點的切線且 $\overline{QS} = 2\overline{QS'}$ 。

收集所有 S 以 Q 點為中心縮小 $\frac{1}{2}$ 所形成的軌跡，就是 S' 的軌跡，即 $\frac{1}{2}\overline{QS} = \overline{QS'}$ 。

(iv) S' 的軌跡即為由 Q 點對圓 C 所做的垂足曲線。



圖四(e)

【證明】：首先我們證明 $\overline{QR} = \overline{RS}$ 。

$$\begin{aligned}
 \therefore R &= \left(\frac{P_0 + 2P_1 + P_2}{4} \right) + R(\theta) \left(\frac{P_2 - P_0}{4} \right) = \left(\frac{\alpha}{2}, \frac{\beta}{2} \right) + \left(\frac{a \cos \theta}{2}, \frac{a \sin \theta}{2} \right) \\
 &= \left(\frac{\alpha}{2} + \frac{a \cos \theta}{2}, \frac{\beta}{2} + \frac{a \sin \theta}{2} \right) \\
 \overline{QR} &= \left(\frac{\alpha}{2} + \frac{a \cos \theta}{2}, \frac{\beta}{2} + \frac{a \sin \theta}{2} \right) - (\alpha, 0) = \left(\left(\frac{-\alpha}{2} \right) + \frac{a \cos \theta}{2}, \frac{\beta}{2} + \frac{a \sin \theta}{2} \right) \\
 \therefore \overline{QR}^2 &= \left[\left(\frac{-\alpha}{2} \right) + \frac{a \cos \theta}{2} \right]^2 + \left[\frac{\beta}{2} + \frac{a \sin \theta}{2} \right]^2 = \left(\frac{\alpha^2 + \beta^2}{4} \right) + \left(\frac{a(\beta \sin \theta - \alpha \cos \theta)}{2} \right) + \left(\frac{a^2}{4} \right). \\
 \overline{RS}^2 &= \left[\left(\frac{a}{2} \right) \cos \theta - \left(\frac{\alpha}{2} \right) \cos 2\theta + \frac{\beta}{2} \sin 2\theta \right]^2 + \left[\left(\frac{a}{2} \right) \sin \theta - \left(\frac{\alpha}{2} \right) \sin 2\theta - \frac{\beta}{2} \cos 2\theta \right]^2 \\
 &= \left(\frac{\alpha^2 + \beta^2}{4} \right) - \left(\frac{2a\alpha(\cos \theta \cos 2\theta + \sin \theta \sin 2\theta)}{4} \right) + \left(\frac{2a\beta(\cos \theta \sin 2\theta - \sin \theta \cos 2\theta)}{4} \right) \\
 &\quad - \left(\frac{2a\beta(\cos 2\theta \sin 2\theta - \sin 2\theta \cos 2\theta)}{4} \right) + \left(\frac{a^2}{4} \right) \\
 &= \left(\frac{\alpha^2 + \beta^2}{4} \right) - \left(\frac{a\alpha \cos(2\theta - \theta)}{2} \right) + \left(\frac{a\beta \sin(2\theta - \theta)}{2} \right) + \left(\frac{a^2}{4} \right) \\
 &= \left(\frac{\alpha^2 + \beta^2}{4} \right) + \left(\frac{a(\beta \sin \theta - \alpha \cos \theta)}{2} \right) + \left(\frac{a^2}{4} \right) = \overline{QR}^2.
 \end{aligned}$$

故 $\overline{QR} = \overline{RS}$ 。

接著證明 $\overline{QS} \parallel \overline{GR}$

令 O 為原點

$$\begin{aligned}
 S &= \left[\left(\frac{P_0 + 2P_1 + P_2}{4} \right) + R(\theta) \left(\frac{P_2 - P_0}{4} \right) \right] + \left[R(\theta) \left(\frac{P_2 - P_0}{4} \right) + R(2\theta) \left(\frac{P_0 - 2P_1 + P_2}{4} \right) \right] \\
 &= \frac{1}{2} (I - R(2\theta)) \begin{bmatrix} \alpha \\ \beta \end{bmatrix} + R(\theta) \begin{bmatrix} a \\ 0 \end{bmatrix} \\
 &= \frac{1}{2} \begin{bmatrix} \alpha(1 - \cos 2\theta) + \beta \sin 2\theta + 2a \cos \theta \\ \beta(1 - \cos 2\theta) - \alpha \sin 2\theta + 2a \sin \theta \end{bmatrix} \\
 R &= \left[\left(\frac{P_0 + 2P_1 + P_2}{4} \right) + R(\theta) \left(\frac{P_2 - P_0}{4} \right) \right] \\
 &= \frac{1}{2} \begin{bmatrix} \alpha \\ \beta \end{bmatrix} + \frac{1}{2} R(\theta) \begin{bmatrix} a \\ 0 \end{bmatrix}
 \end{aligned}$$

$$= \frac{1}{2} \begin{bmatrix} \alpha + a \cos \theta \\ \beta + a \sin \theta \end{bmatrix}$$

$$\overrightarrow{QS} = \left(-\frac{1}{2}\alpha(1 + \cos 2\theta) + \frac{1}{2}\beta \sin 2\theta + a \cos \theta, \frac{1}{2}\beta(1 - \cos 2\theta) - \frac{1}{2}\alpha \sin 2\theta + a \sin \theta \right)$$

$$\overrightarrow{RG} = \left(-\frac{1}{2}a \cos \theta, -\frac{1}{2}a \sin \theta \right) \text{ 所以 } \overrightarrow{N_{RG}} = \left(\frac{1}{2}a \sin \theta, -\frac{1}{2}a \cos \theta \right)$$

$$\overrightarrow{N_{RS}} \cdot \overrightarrow{QS} = \left(\frac{1}{2}a \sin \theta \right) \left(-\frac{1}{2}\alpha - \frac{1}{2}\alpha \cos 2\theta + \frac{1}{2}\beta \sin 2\theta + a \cos \theta \right) +$$

$$\left(-\frac{1}{2}a \cos \theta \right) \left(\frac{1}{2}\beta - \frac{1}{2}\beta \cos 2\theta - \frac{1}{2}\alpha \sin 2\theta + a \sin \theta \right)$$

$$= \frac{1}{4}a\beta \cos \theta + \frac{1}{4}a\alpha \sin \theta - \frac{1}{4}a\alpha \sin \theta - \frac{1}{4}a\beta \cos \theta = 0$$

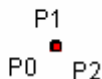
因為 $\overrightarrow{N_{GR}} \perp \overrightarrow{GR}$ 且 $\overrightarrow{N_{GR}} \perp \overrightarrow{QS}$ 故 $\overrightarrow{QS} \parallel \overrightarrow{GR}$

【得證】

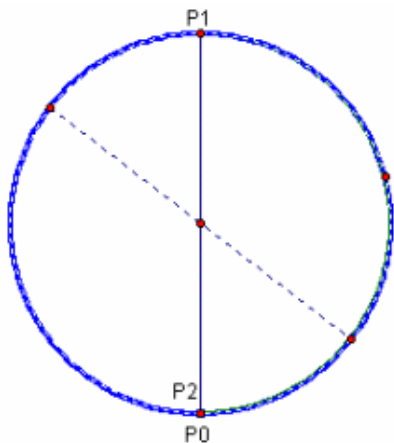
經由上述三種情形的證明中，我們進一步的觀察到事實上前述的三點 P_0 、 P_1 與 P_2 並不需
要依逆時針的順序成爲相異的三個點。因此除了我們前述證明的三種情形外，我們利用 S 點
的一般式可輕易的將其他退化的情形歸納如下列 6 種情形：

1. 當 $P_0 = P_1 = P_2$ 時, 圖形爲一點。

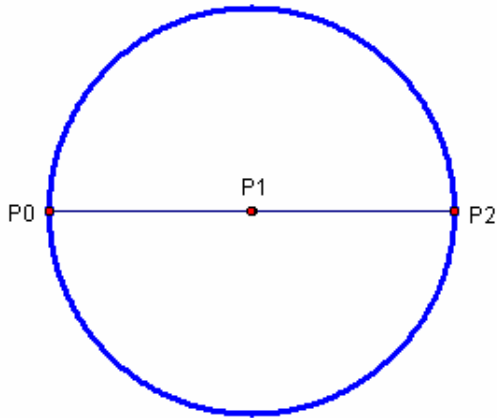
重合



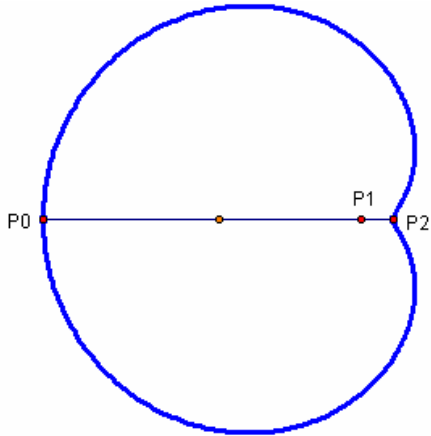
2. 當 $P_1 \neq P_0 = P_2$ 時, 圖形爲一圓。



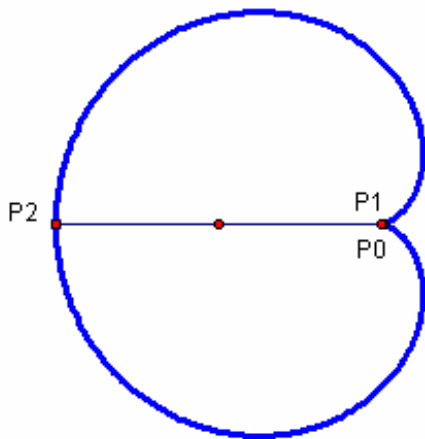
3. 當 P_0 、 P_1 與 P_2 為三相異點且 P_1 在 $\overline{P_0P_2}$ 中點時，圖形為一個以 P_1 為圓心 $\overline{P_0P_2}$ 為直徑的圓。



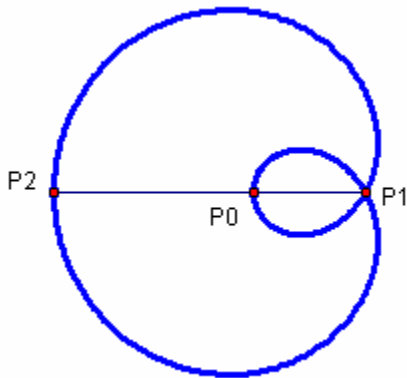
4. 當 P_0 、 P_1 與 P_2 為共線的三相異點且 P_1 落在 $\overline{P_0P_2}$ 內部但 P_1 不為 $\overline{P_0P_2}$ 中點時，圖形為無內圈的蚶線。此時等同於 $\Delta P_0P_1P_2$ 為鈍角三角形的情形。



5. 當 P_0 與 P_2 為兩相異點且 $P_1=P_0$ 或 $P_1=P_2$ 時，圖形為心臟線。此時等同於 $\Delta P_0P_1P_2$ 為直角三角形的情形。



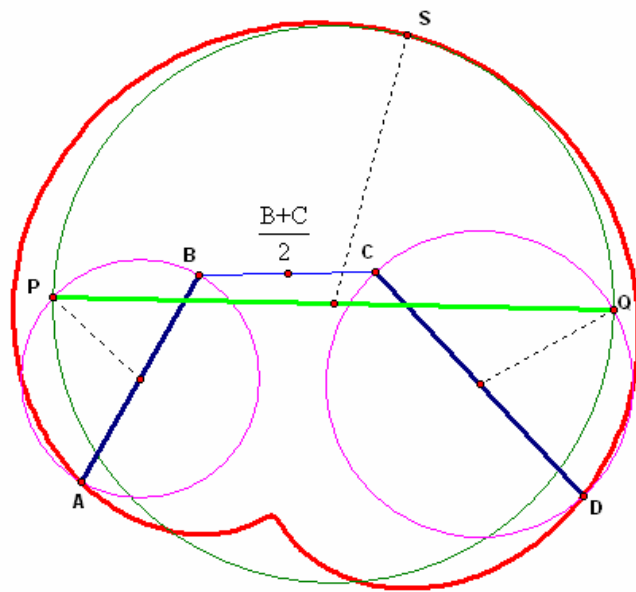
6. 當 P_0 、 P_1 與 P_2 為共線的三相異點且 P_1 落在 $\overline{P_0P_2}$ 外部時，圖形為有內圈的蚘線。此時等同於 $\Delta P_0P_1P_2$ 為銳角三角形的情形。



因此，在綜合上述的情形之後，我們可推得以下的結論：

【定理二】：由平面上 P_0 、 P_1 與 P_2 三點所決定的二次環狀 Bezier 曲線必為蚘線(包含圓)或是一點。

藉由前述的結論，我們可進一步的將二次環狀 Bezier 曲線的繪圖方法應用到平面上逆時針相異四點 A、B、C 及 D。先分別利用 \overline{AB} 與 \overline{CD} 為直徑作圓 C_1 與 C_2 ，並於其上分別取對應的動點 P 與 Q；然後再以 \overline{PQ} 為直徑作圓 C 並於其上取同樣的對應軌跡點 S。如圖五所示。



圖五

因此我們可以很快的推得 $P = TA + (I - T)B$ 、 $Q = TC + (I - T)D$ 及 $S = TP + (I - T)Q$ 。故

$$S = T(TA + (I - T)B) + (I - T)(TC + (I - T)D)$$

$$= T^2 A + 2T(I - T)\left(\frac{B + C}{2}\right) + (I - T)^2 D$$

令 $A = P_0$ 、 $\frac{B + C}{2} = P_1$ 及 $D = P_2$ ；故圖五中的圖形可看成由 A 、 $\frac{B + C}{2}$ 及 D 三點所決定的蚘線(包含圓)。我們知道 S 的參數式仍然可看成是一個以 T 為參數的二次式。我們稱其為由 A 、 B 、 C 及 D 四點所決定之二次環狀 Bezier 曲線。

由前述的定理二，我們可得知圖形為垂足曲線而不是一個單點時的條件為 $A \neq D$ 。因此，我們可推得

【定理三】：由平面上 A 、 B 、 C 、 D 四點所決定之二次環狀 Bezier 曲線仍為蚘線(包含圓)或一個點。

● 複數平面上的刻劃

從定理一的公式中當 $n=2$ 時來觀察 $S = \binom{2}{0} T^2 A + \binom{2}{1} T(I - T)B + \binom{2}{0} (I - T)^2 C$ 且

$$T = \frac{I - R(\theta)}{2} \quad \text{及} \quad I - T = \frac{I + R(\theta)}{2}, \quad \text{因為} \quad TA = \left(\frac{I - R(\theta)}{2}\right)A = \frac{1}{2}(IA) - \frac{1}{2}(R(\theta)A) = \frac{1}{2}A - \frac{1}{2}R(\theta)A;$$

如果我們將 $R(\theta)$ 用複數 $e^{i\theta} = \cos \theta + i \sin \theta$ 表示並令 $\bar{t} = \frac{1 - e^{i\theta}}{2}$ ，且令 $z_0 = A$ 、 $z_1 = B$ 、 $z_2 = C$ 及

$w = S$ 且滿足 z_0 、 z_1 與 z_2 為不共線的相異三點，則上述在 X - Y 平面上的公式在複數平面上

可改成

$$\begin{aligned} w &= \binom{2}{0} (\bar{t})^2 z_0 + \binom{2}{1} (\bar{t})(1 - \bar{t}) z_1 + \binom{2}{0} (1 - \bar{t})^2 z_2 \\ &= \binom{2}{0} \left(\frac{1 - e^{i\theta}}{2}\right)^2 z_0 + \binom{2}{1} \left(\frac{1 - e^{i\theta}}{2}\right) \left(\frac{1 + e^{i\theta}}{2}\right) z_1 + \binom{2}{0} \left(\frac{1 + e^{i\theta}}{2}\right)^2 z_2, \quad 0 \leq \theta \leq 2\pi \\ &= \left(\frac{z_0 + 2z_1 + z_2}{4}\right) + \left(\frac{z_2 - z_0}{2}\right) e^{i\theta} + \left(\frac{z_0 - 2z_1 + z_2}{4}\right) e^{i2\theta}, \quad 0 \leq \theta \leq 2\pi \end{aligned}$$

如果在複數平面上收集上述的 w 所成的集合 Γ 可表為

$$\Gamma = \left\{ \left(\frac{z_0 + 2z_1 + z_2}{4}\right) + \left(\frac{z_2 - z_0}{2}\right) z + \left(\frac{z_0 - 2z_1 + z_2}{4}\right) z^2 : |z| = 1 \right\}。 \text{且} \Gamma \text{ 的圖形應該是蚘線(不包含}$$

圓)。如果我們令 $z = e^{i\theta}$ 的話，事實上 z 是落在以原點為圓心的單位圓上。因此如果在複數平

面上給定三點 z_0 、 z_1 及 z_2 且滿足 z_0 、 z_1 與 z_2 為不共線的相異三點，我們可以定義一個二次變

換 $T_{(z_0, z_1, z_2)}: \mathbb{C} \rightarrow \mathbb{C}$ 使得

$$T_{(z_0, z_1, z_2)}(z) = \binom{2}{0} \left(\frac{1-z}{2}\right)^2 z_0 + \binom{2}{1} \left(\frac{1-z}{2}\right) \left(\frac{1+z}{2}\right) z_1 + \binom{2}{2} \left(\frac{1+z}{2}\right)^2 z_2$$

$$= \left(\frac{z_0 + 2z_1 + z_2}{4}\right) + \left(\frac{z_2 - z_0}{2}\right) z + \left(\frac{z_0 - 2z_1 + z_2}{4}\right) z^2$$

。由之前所得到的結果我們可推得：

【定理四】：二次變換 $T_{(z_0, z_1, z_2)}$ 將以原點為圓心的單位圓，映射成二次環狀 Bezier 曲線。

因為二次 Bezier 曲線的軌跡點公式為 $P = \binom{2}{0} t^2 A + \binom{2}{1} t(1-t) B + \binom{2}{2} (1-t)^2 C$ ，且 $0 \leq t \leq 1$ 。因

此我們想要利用變換的觀點來觀察二次 Bezier 曲線。同樣的令

$z_0 = A$ 、 $z_1 = B$ 、 $z_2 = C$ 及 $w = P$ ，在利用變數變換，令

$$t = \frac{1-r}{2}, 0 \leq t \leq 1 \Leftrightarrow r = 2t - 1, -1 \leq r \leq 1$$

則上述二次 Bezier 曲線在 X-Y 平面上的公式相對於複數平面上可改成

$$w = \binom{2}{0} t^2 z_0 + \binom{2}{1} t(1-t) z_1 + \binom{2}{2} (1-t)^2 z_2$$

$$= \binom{2}{0} \left(\frac{1-r}{2}\right)^2 z_0 + \binom{2}{1} \left(\frac{1-r}{2}\right) \left(\frac{1+r}{2}\right) z_1 + \binom{2}{2} \left(\frac{1+r}{2}\right)^2 z_2$$

$$= \left(\frac{z_0 + 2z_1 + z_2}{4}\right) + \left(\frac{z_2 - z_0}{2}\right) r + \left(\frac{z_0 - 2z_1 + z_2}{4}\right) r^2, -1 \leq r \leq 1$$

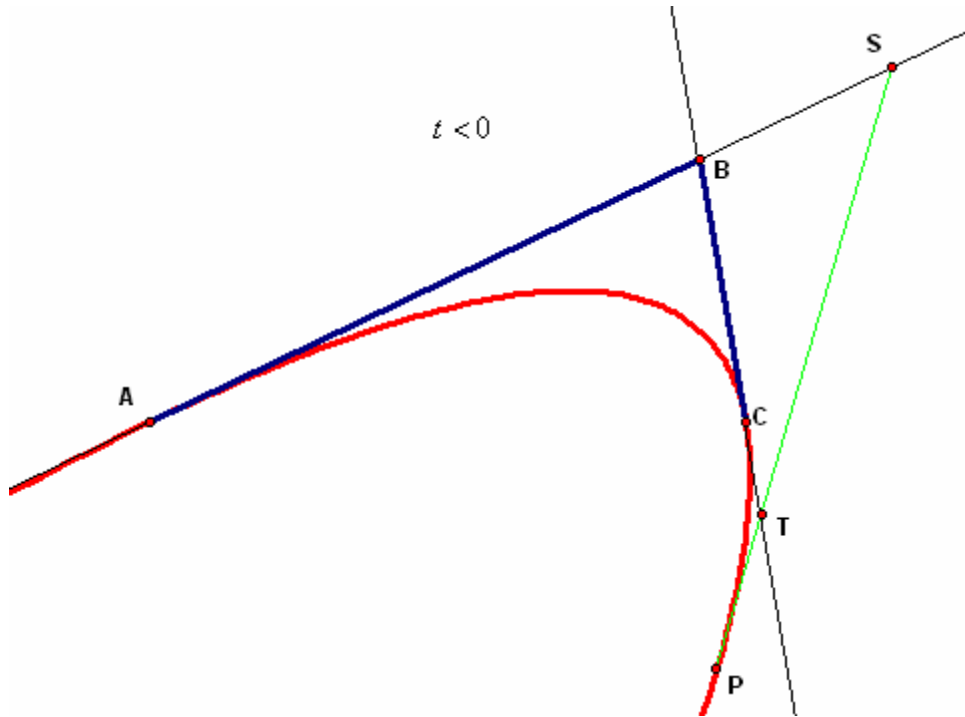
因為 r 也可視為複數平面上的點，因此我們可推得：

二次變換 $T_{(z_0, z_1, z_2)}$ 將實軸上以原點為中點，-1 與 +1 為兩端點的線段，映射成二次 Bezier 曲線(其實是拋物線的一部分)。

當我們放寬 r 的限制範圍令 r 為任意實數時，則相對的 t 亦為任意實數；則此時相當於重新描繪二次 Bezier 曲線且比值 t 為任意實數。結果我們描繪出了整條拋物線，如圖六所示，P 點的位置，乃發生在比值 $t < 0$ 的情形。

收集所有的實數 r 相當於就是整條實軸。因此我們也推得：

【定理五】：二次變換 $T_{(z_0, z_1, z_2)}$ 將整條實軸，映射成一條拋物線。



圖六

同理令 z_0, z_1, \dots, z_n 為複數平面上 $n+1$ 個點，所以我們可以定義一個 **n 次變換**

$$T_{(z_0, \dots, z_n)} : \mathbb{C} \rightarrow \mathbb{C} \text{ 使得 } T_{(z_0, \dots, z_n)}(z) = \sum_{k=0}^n \binom{n}{k} \left(\frac{1-z}{2}\right)^k \left(\frac{1+z}{2}\right)^{n-k} z_k \text{ 且得到}$$

【定理六】： n 次變換 $T_{(z_0, \dots, z_n)}$ 將以原點為圓心的單位圓，映射成由 z_0, z_1, \dots, z_n 所決定的 **n 次環狀 Bezier 曲線**。

接下來我們討論此 $n+1$ 個點的特例情形：取 z_0, z_1, \dots, z_n 為複數平面上以原點為圓心

之單位圓上的 $n+1$ 個等分點且令 $z_k = \cos\left(\frac{2k\pi}{n+1}\right) + i \sin\left(\frac{2k\pi}{n+1}\right)$ ，其中 $k=0, 1, 2, \dots, n$ 。

$$\text{代入公式 } w = \sum_{k=0}^n \binom{n}{k} (\bar{t})^k (1-\bar{t})^{n-k} z_k, \text{ 其中 } \bar{t} = \frac{1-e^{i\theta}}{2}, 1-\bar{t} = \frac{1+e^{i\theta}}{2}$$

由**萊美弗定理**知： $z_k = (z_1)^k = \cos\left(\frac{2\pi}{n+1} \times k\right) + i \sin\left(\frac{2\pi}{n+1} \times k\right)$ ， $k=0, 1, 2, \dots, n$ 。所以

$$\begin{aligned}
w &= \sum_{k=0}^n \binom{n}{k} (\bar{t})^k (1-\bar{t})^{n-k} z_k = \sum_{k=0}^n \binom{n}{k} (\bar{t})^k (1-\bar{t})^{n-k} (z_1)^k (z_0)^{n-k} \\
&= \sum_{k=0}^n \binom{n}{k} (\bar{t}z_1)^k \left[(1-\bar{t})z_0 \right]^{n-k} = \left[(1-\bar{t})z_0 + \bar{t}z_1 \right]^n \\
&= \left[\left(\frac{1+e^{i\theta}}{2} \right) z_0 + \left(\frac{1-e^{i\theta}}{2} \right) z_1 \right]^n = \left[\left(\frac{z_0+z_1}{2} \right) + \left(\frac{z_0-z_1}{2} \right) e^{i\theta} \right]^n
\end{aligned}$$

其中 $\left(\frac{z_0+z_1}{2} \right) + \left(\frac{z_0-z_1}{2} \right) e^{i\theta}$ 其實是落在複數平面上以 $\frac{z_0+z_1}{2}$ 為圓心並以 $\left| \frac{z_0-z_1}{2} \right|$ 為半徑的圓上

的點。故我們接著對照上面的式子取任意四點 z_0 、 z_1 、 z_3 、 z_4 ，

則可推得

$$\begin{aligned}
w &= \left((\bar{t})z_0 + (1-\bar{t})z_1 \right) \left((\bar{t})z_3 + (1-\bar{t})z_4 \right) = (\bar{t})^2 z_0 z_3 + (\bar{t})(1-\bar{t})(z_1 z_3 + z_0 z_4) + (1-\bar{t})^2 z_1 z_4 \\
&= \binom{2}{0} (\bar{t})^2 (z_0 z_3) + \binom{2}{1} (\bar{t})(1-\bar{t}) \left(\frac{z_1 z_3 + z_0 z_4}{2} \right) + \binom{2}{2} (1-\bar{t})^2 (z_1 z_4)
\end{aligned}$$

由之前的結果我們可得知 w 的軌跡圖形仍然還是一個二次環狀 Bezier 曲線。因此我們可以類推：

假設 $\alpha_0, \alpha_1, \dots, \alpha_n, \beta_0, \beta_1, \dots, \beta_n$ 為複數平面上 $2n+2$ 個點，令 $w = \prod_{k=0}^n \left[(1-\bar{t})\alpha_k + \bar{t}\beta_k \right]$ ，

則 w 的軌跡圖形必定為一個 n 次環狀 Bezier 曲線。

將其展開整理係數後，就會變成 $T_{(z_0, \dots, z_n)}(z) = \sum_{k=0}^n \binom{n}{k} \left(\frac{1-z}{2} \right)^k \left(\frac{1+z}{2} \right)^{n-k} z_k$ 展開後的樣子。

所以我們可以利用上面的結果定義另外一個 **n 次變換 $T_{(\alpha_0, \dots, \alpha_n, \beta_0, \dots, \beta_n)} : \mathbb{C} \rightarrow \mathbb{C}$** 使得

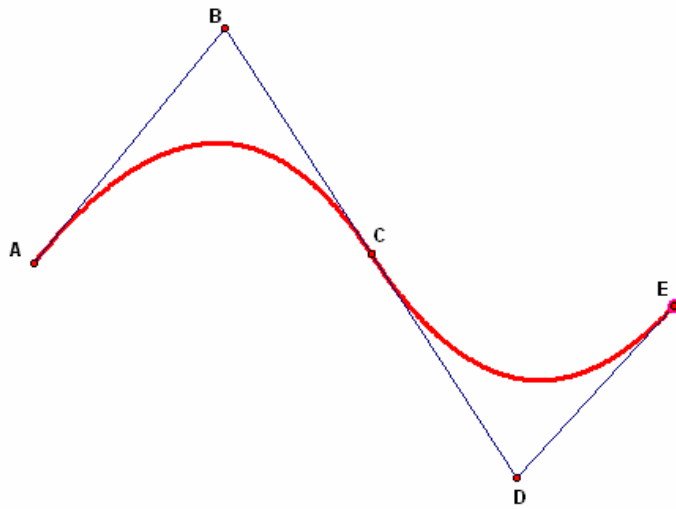
$$T_{(\alpha_0, \dots, \alpha_n, \beta_0, \dots, \beta_n)}(z) = \prod_{k=0}^n \left[\left(\frac{1-z}{2} \right) \alpha_k + \left(\frac{1+z}{2} \right) \beta_k \right] \text{ 且得到}$$

【定理七】： n 次變換 $T_{(\alpha_0, \dots, \alpha_n, \beta_0, \dots, \beta_n)}$ 將以原點為圓心的單位圓，映射成一個 n 次環狀 Bezier 曲線。

由定理六及定理七我們利用兩個 n 次幾何變換來刻劃 n 次環狀 Bezier 曲線，但當 $n \geq 3$ 時圖形其實已經相當複雜，我們也不打算在本文中進一步探討；但我們的確深信：**應該還有其他有名的平面曲線也是歸類於 n 次環狀 Bezier 曲線之中。**

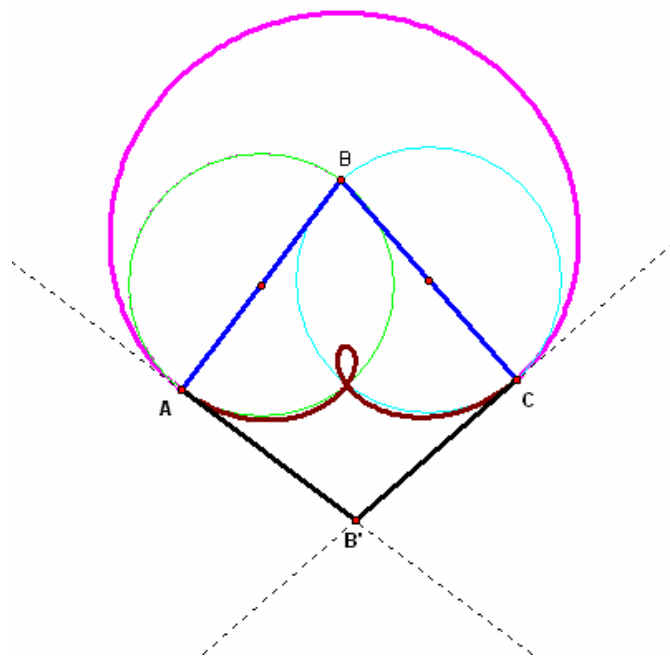
肆、討論與應用

我們都知道 Bezier 曲線在電腦繪圖上有許多的應用。例如，我們可以將兩段分別由 A-B-C 與 E-D-C 所決定的 2 次 Bezier 曲線銜接使得 B、C、D 三點共線而建構出一條平滑曲線，如圖七



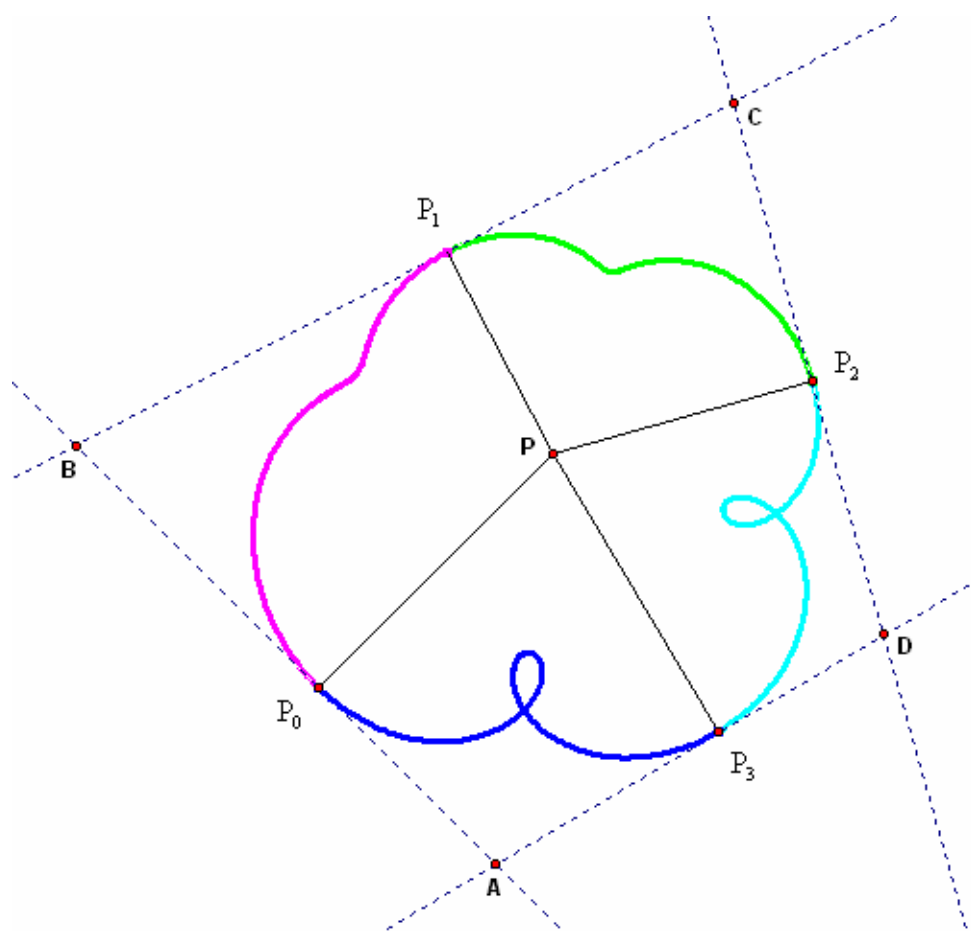
圖七

很自然地我們會想要知道：是否也可以將此類似的結果運用到 2 次環狀 Bezier 曲線呢？我們知道 $\overline{B'A}$ 與 $\overline{B'C}$ 均為 2 次環狀 Bezier 曲線的切線。於是我們截取 2 次環狀 Bezier 曲線在 $\pi \leq \theta \leq 2\pi$ 的範圍，如圖八。然後將其予以推廣：



圖八

【推廣】：今有四條相異直線 \overline{AB} 、 \overline{BC} 、 \overline{CD} 及 \overline{DA} ，如圖九。令有一點 P 分別對此四條直線作垂足 P_0 、 P_1 、 P_2 及 P_3 ；再分別利用 P_0 - P - P_3 、 P_1 - P - P_0 、 P_2 - P - P_1 及 P_3 - P - P_2 作四段 2 次環狀 Bezier 曲線。於是我們得到了一條分別與 \overline{AB} 、 \overline{BC} 、 \overline{CD} 及 \overline{DA} 相切的曲線。且其上的每一個點的座標參數式均可由我們的公式求得。以此方法我們也找到了一種由 2 次環狀 Bezier 曲線所建構出來的封閉曲線。目前我們尚未進一步探求，其是否有類似於 Beizer 曲線現在電腦繪圖及資料處理上的應用，不過這也是後續可研究的方向之一。

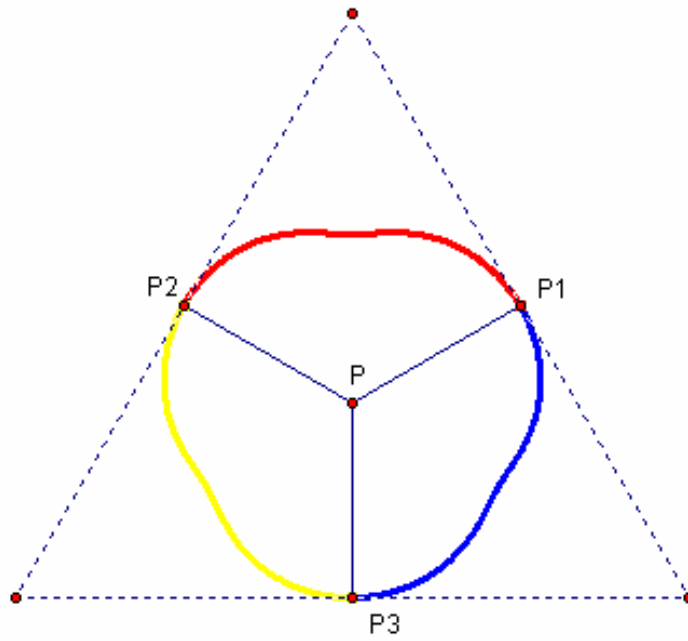


圖九

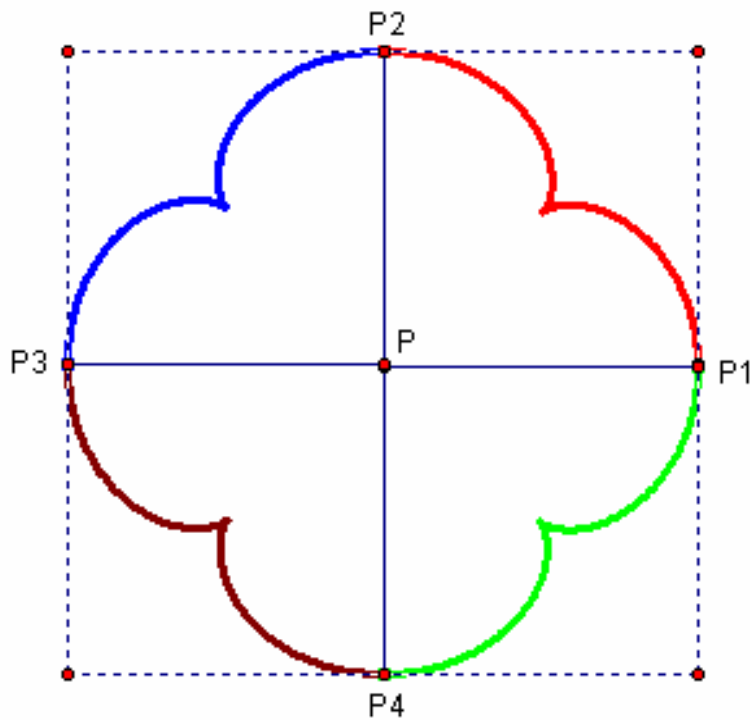
同樣的做法，我們也可應用至正三角形、正四邊形和正五邊形，利用他們的特性畫出很漂亮的圖形，而且圖形上的每一點的座標都可以由公式得知。

1. 正三角形所做出的圖形，是由三段無內圈蚌線的部分圖形所構成。
2. 正四邊形所做出的圖形，是由四段心臟線的部分圖形所構成。

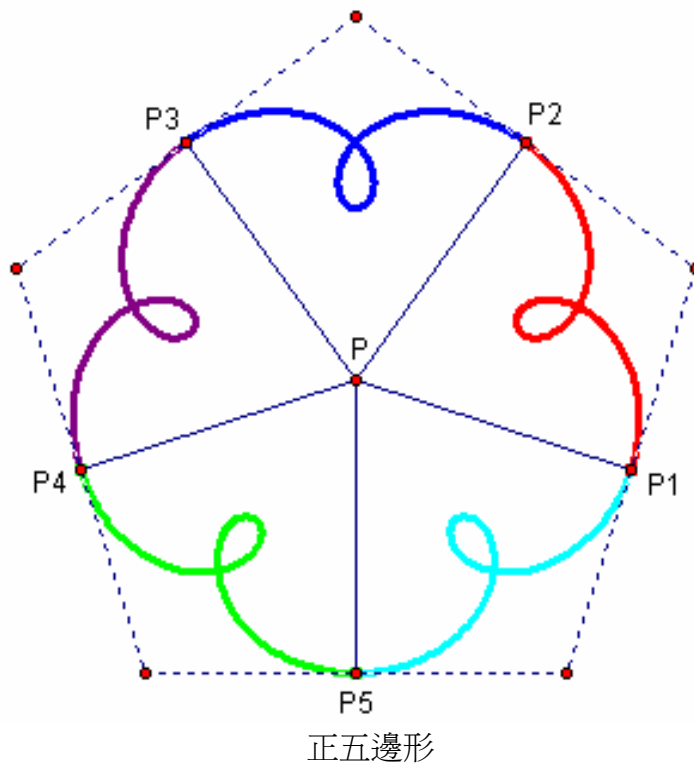
3. 正五邊形所做出的圖形，是由五段有內圈蚶線的部分圖形所構成。



正三角形



正四邊形



伍、結論

一、我們得到由 $n+1$ 個相異點 P_0, P_1, \dots, P_n 所建構出來的 n 次環狀 Bezier 曲線之軌跡點一般式：

$$S = \sum_{k=0}^n \binom{n}{k} T^{n-k} (I-T)^k P_k \text{ 此時 } T = \frac{I-R(\theta)}{2} \text{ 及 } I-T = \frac{I+R(\theta)}{2}。$$

二、由 A、B、C 所決定的二次環狀 Bezier 曲線共有：有內圈的蚌線、心臟線、無內圈的蚌線、圓或一點五種。

三、由 A、B、C、D 四點所決定的二次環狀 Bezier 曲線共有：有內圈的蚌線、心臟線、無內圈的蚌線、圓或一點五種。

四、一個複數平面上由 z_0, z_1 與 z_2 所決定的二次變換 $T_{(z_0, z_1, z_2)}$ 將整條實軸，映射成一條拋物線。

同時 $T_{(z_0, z_1, z_2)}$ 將以原點為圓心的單位圓，映射成二次環狀 Bezier 曲線。

五、利用第四點的結果類推之下，我們找到了一個複數平面上由 z_0, z_1, \dots, z_n 所決定的 n 次變換 $T_{(z_0, z_1, \dots, z_n)}$ 將以原點為圓心的單位圓，映射成由 z_0, z_1, \dots, z_n 所決定的 n 次環狀 Bezier 曲線。

- 六、我們也找出了另一個複數平面上由 $\alpha_0, \alpha_1, \dots, \alpha_n, \beta_0, \beta_1, \dots, \beta_n$ $2n+2$ 個點所決定的 n 次變換 $T_{(\alpha_0, \dots, \alpha_n, \beta_0, \dots, \beta_n)}$ 將以原點為圓心的單位圓，映射成一個 n 次環狀 Bezier 曲線。
- 七、我們可利用環狀 Bezier 曲線來建構出一些新的曲線；我們也知道 Bezier 曲線在三維空間有更一般化的推廣：Bezier 曲面。因此，在本篇文章的延續下去可供研究的部分，我們想要嘗試著把環狀 Bezier 曲線的概念推廣到曲面上

陸、參考資料

- 一、 E. H. Lockwood (1961), A Book of Curves. Cambridge University Press..
- 二、 E.V. Shikin and A.I. Plis (1995), Handbook on Splines. CRC Press..
- 三、 http://episte.math.ntu.edu.tw/articles/sm/sm_21_05_1/index.html
- 四、 <http://episte.math.ntu.edu.tw/cgi/mathfield.pl?fld=geo>

七、使用設備

電腦、GSP 繪圖軟體